

Окончательная формула для расчета интенсивности изнашивания, которая может быть использована для оценки ожидаемого износа втулки, имеет вид

$$I_p = 0,54 \cdot 10^{-6} \left[\frac{(R_p R_d)^{0,5} W_p S_{mw}}{S_m H_p} \left(\frac{P}{H_{\mu 0}} \right)^{0,5} \right]^{0,25} U.$$

Расчетная средняя интенсивность изнашивания втулки $I_p = 0,92 \cdot 10^{-9}$, погрешность составляет 2%.

Используя полученную модель, можно решить задачу локальной оптимизации величины I относительно ПКПС. Искомыми параметрами является множество ПКПС одной из деталей узла трения, заданными — множество эксплуатационных параметров сопряжения. Целевая функция задается отношением r_4 [см. выражение (5)] для некоторого случая износа. Таким образом, в общем виде задача оптимизации можно выразить как

$$f(P, A, v, \eta, HB_{1,2}, \rho_{1,2}, Q) \rightarrow \text{opt} \quad (6)$$

при наборе ограничений вида $\min \leq q_i \in Q \leq \max$.

При оптимизации предложенной модели изнашивания решается одна из двух задач: минимизация целевой функции при заданных ограничениях либо приведение ее к конкретному значению (оптимуму), которое определяется требованиями, предъявляемыми к узлу (срок службы, допустимое значение износа деталей и т.д.). В первом случае $\text{opt} = 0$, во втором $\text{opt} = \text{const}$. При этом искомая совокупность ПКПС рассматривается как вектор восьмимерного пространства, координаты которого соответствуют значениям отдельных параметров.

На рисунке представлен алгоритм оптимизации, выработанный на основе метода случайных направлений решения задач нелинейного программирования. Алгоритм выполняется следующим образом.

1. Ввод исходных данных, описывающих исследуемое сопряжение (значения пара-

метров эксплуатации, вид целевой функции, система ограничений ПКПС), называемый оптимум, степень ε точности решения.

2. Случайная точка Q_0 , удовлетворяющая условию (6), принимается за начальное приближение. По заданной в блоке 1 зависимости вычисляется значение целевой функции в этой точке $f(Q_0)$.

3. Если при этом в точке Q_0 достигается оптимум с заданной точностью, а именно $|f(Q_0) - \text{opt}| \leq \varepsilon$, то она является точкой оптимума задачи при заданных условиях, и вычисления прекращаются (переход по ветви «Да» в блок 7).

4. В противном случае (ветвь «Нет») путем последовательного перебора в блоке 4 осуществляется поиск элементарного (шагового) приращения Δ аргументов из множества возможных, обеспечивающего максимальное приближение целевой функции к оптимуму. А именно, по начальному приближению Q_0 строится вектор, координаты которого определяются точкой $Q_1 = Q_0 + \Delta$, и вычисляется новое значение целевой функции $f(Q_1)$.

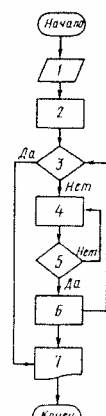
5. Если точка Q_1 не находится близко к искомой оптимальной, т.е. $|f(Q_0) - \text{opt}| - |f(Q_1) - \text{opt}| \leq 0$ (ветвь «Нет» блока 5), то рассматривается следующий вариант Q_1 (блок 4).

6. В противном случае (ветвь «Да») в блоке 6 осуществляется переопределение переменных: $f(Q_0) = f(Q_1)$; $Q_0 = Q_1$ и проверяется на оптимальность новая точка Q_0 (блок 3). Далее реализуется следующая итерация алгоритма.

7. Вывод на печать результатов расчета.

В результате оптимизации модели изнашивания втулки для достижения заданного значения $I = 0,98 \cdot 10^{-9}$ получены следующие значения ПКПС и I (в скобках приведены опытные данные): $R_d = 0,16 (0,09)$ мкм; $R_p = 0,32 (0,28)$ мкм; $S_m = 0,08 (0,033)$ мм; $W_p = 2,5 (8,0)$ мкм; $S_{mw} = 3,2 (6,4)$ мм; $H_{\mu 0} = 2900 (2920)$ МПа; $I = 0,978 \cdot 10^{-9} (0,98 \cdot 10^{-9})$. При этом границы допустимых значений ПКПС соответствуют рассматриваемым в работе [4].

Таким образом, предложенная математическая модель изнашивания деталей узлов трения и методика ее оптимизации позволяют не только оценивать ожидаемый износ конкретного сопряже-



Алгоритм оптимизации модели изнашивания детали узла трения

ния, но и обоснованно назначать ПКПС, требуемые для обеспечения его износостойкости.

Список литературы

- Улашкин А.П. Выбор отдельно-упрочняющих методов обработки (для повышения износостойкости деталей машин). — Хабаровск: ХГТУ, 1998. — 103 с.

- Браун Э.Л., Елдокимов Ю.А., Чичинадзе А.В. Моделирование трения и изнашивания в машинах. — М.: Машиностроение, 1982. — 191 с.

- Пистюков И.Н. Оптимизаций выбор масштабных коэффициентов перехода // Трение и износ — 1994. — Т. 15. — №3. — С. 435—441.

- Фролов Е.П., Калашников В.Г., Горленко О.А. Повышение долговечности деталей узлов трения скольжения рулевого управления автогрейдера ДЗ-143 // Проблемы повышения надежности и долговечности деталей машин и инструментов: Сб. науч. трудов / Под ред. А.Г. Суслова. — Брянск: БИТМ, 1992. — С. 11—21.

АВТОМАТИЗАЦИЯ ПРОИЗВОДСТВА

Оптимизация конструктивных параметров оборудования типа гексапода

И.Г. Хольшев, В.В. Бушуев

В последнее время в мировом станкостроении активно развивается оборудование типа гексапода, основанное на принципе параллельной кинематической структуры [1]. Его применение наиболее эффективно при обработке изделий сложной формы (например, штампов), когда требуется перемещение инструмента по пяти-шести координатам.

Оптимизация параметров станков-гексаподов может осуществляться по разным критериям. Если, например, рассматривать оптимизацию по критерию занимаемой площади, то целесообразно ввести коэффициент эффективности $k_{\phi} = S_r/S_{rp}$, где $S_r = L \times B$ — площадь, соответствующая габариту станка (L и B — его длина и ширина); $S_{rp} = l \times b$ — площадь сечения рабочего пространства (l и b — длина и ширина).

Значения коэффициента k_{ϕ} для оборудования различных фирм приведены в таблице, откуда следует, что имеется тенденция его уменьшения с течением времени. Это свидетельствует о совер-

шенствовании оборудования и связано, по-видимому, с использованием компьютерного моделирования при проектировании и с оптимизацией конструктивных параметров.

Необходимо отметить, что объем рабочего пространства гексаподов в технических характеристиках обозначают в виде куба, хотя реально это пространство имеет сложную конфигурацию и его объем больше, чем указано в проспектах.

Для решения задачи оптимизации в данном случае необходимо варьировать геометрические параметры элементов конструкции гексапода и положение платформы, находя путем моделиро-

Изготовитель	Модель	Год изготовления	Габарит в плане		Размеры рабочего пространства, $l \times b$, мм	k_{ϕ}
			$L \times B$, мм	S_r , м ²		
Новосибирский электротехнический институт	—	1987	2000×2200	—	250×250	70,40
Ingersoll (США)	VOH 1000	1992	4900×4500	—	1000×1000	22,05
Hexel (США)	Tornado 2000	1992	—	6	600×600	16,67
Fraunhofer (Германия)	Mikromat 6X	1995	—	9	630×630	22,67
АО «Лапик» (Россия)	TM 500	1995	1780×1280	—	500×350	13,02
Ingersoll	HON 600	1997	3400×3000	—	600×600	28,33
Geodetic (Швейцария)	GPM 1000	1997	2100×2100	—	650×650	10,44
Geodetic	GPM 4000	1997	3000×3000	—	1000×1000	9,00

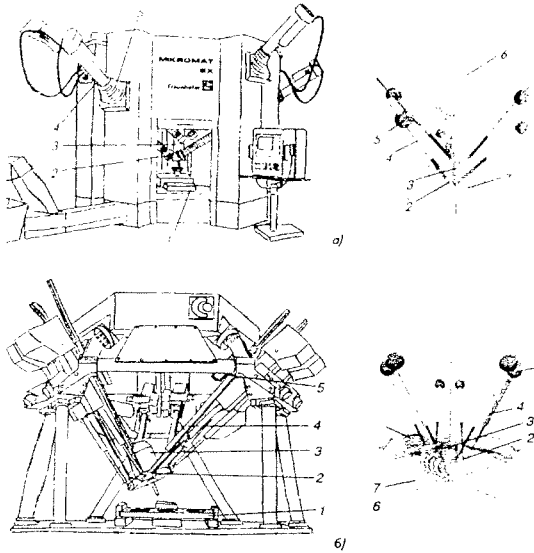


Рис.1. Общий вид (слева) и графическая модель (справа) гексаподов мод. Mikromat 6X института Fraunhofer (а) и мод. ТМ 500 АО «Лапик» (б). 1 — стол; 2 — шарнир, связанный с платформой; 3 — шпиндель; 4 — штанга; 5 — шарнир, связанный с основанием; 6 — объем рабочего пространства, ограниченный максимальным вылетом штанг; 7 — то же — минимальным

вания для каждого сочетания варьируемых параметров определенный критерий, например объем рабочего пространства.

Рассмотрим принципы оптимизации на двух примерах гексаподов (рис.1), причем для гексапода мод. Mikromat 6X (см. рис.1, а) известны точные размеры, а для гексапода мод. ТМ 500 (см. рис.1, б) размеры установлены по фотографии и техническим характеристикам (это подтверждает возможность проводить оптимизацию на самой ранней стадии проектирования, когда имеются лишь схемы, эскизы и другая предварительная документация).

Конструктивное различие этих моделей заключается в расположении шарниров и геометрических размерах. У мод. Mikromat 6X из шести шарниров, связанных с платформой, три расположены в одной плоскости, а еще три — в другой плоскости, параллельной ей; шарниры, связанные с основанием, также расположены в двух параллельных плоско-

стих. У мод. ТМ 500 все шарниры платформы расположены в одной плоскости, так же как шарниры основания.

Исходной информацией при анализе является положение циннеля (рис.2), соответствующее положению платформы, и конструктивные параметры штанги, платформы и основания. Так, согласно рис.2 положение оси шпинделя в его собственной системе координат $X_{шп}Y_{шп}Z_{шп}$ определяется углами α , β и γ , а сама эта система координат располагается определенным образом относительно абсолютной системы XYZ .

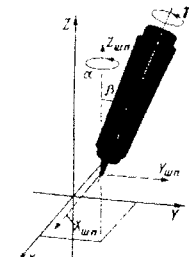


Рис.2. Система координат для определения положения оси шпинделя в пространстве

Конструктивными элементами штанги (рис. 3) являются шарниры 1 и 4, связанные соответственно с платформой и основанием, а также цилиндр 3 со штоком 2. В ее конструктивные параметры входят радиус R_u цилиндра, радиус $R_{шт}$ штока, основная $L_{шт}$ и дополнительная $L_{доп}$ длина штока, длина L_h направляющей штока, расстояние H_t от торца штока до оси шарнира, связанного с основанием, а также перемещение L_w штанги.

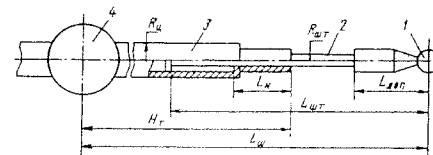


Рис.3. Конструктивные параметры штанги

Для платформы (рис. 4) выделим следующие конструктивные параметры: радиус R_o окружности центров нижних шарниров 2; разницу ΔR_o радиусов окружностей центров нижних и верхних (1) шарниров; расстояние H_o от центров нижних шарниров до основания циннеля 3; разницу ΔH_o в расположении верхних и нижних шарниров по длине циннеля; разницу $\Delta\omega_o$ углового положения верхних и нижних шарниров; радиус $R_{пп}$ и длину $H_{пп}$ циннеля; радиус R_o и длину H_o инструмента, установленного в циннеле. Рабочее пространство (РП) характеризуется радиусом описанной окружности $R_{РП} = \sqrt{l^2 + b^2} / 2$ и высотой $H_{РП}$.

Оптимизация конструктивных параметров гексапода (при заданном объеме рабочего пространства) заключается в изменении расположения шарниров на платформе и основании при постоянных конструктивных параметрах штанги. Для простоты решения рассматриваем относительные конструктивные параметры, полученные путем деления соответствующих размеров на $L_{шт}$. Значения таких параметров для двух моделей гексапод приведены ниже.

Модель	Микромат 6Х	ТМ 500
R_o	1,340	0,980
ΔR_o	0,000	0,000
H_o	2,010	1,745
ΔH_o	0,500	0,000
$R_{пп}$	0,445	0,608
$H_{пп}$	0,630	0,637
R_o	0,200	0,314
ΔR_o	0,000	0,000
H_o	0,450	0,039
ΔH_o	0,400	0,000
$R_{пп}$	0,100	0,137
$H_{пп}$	0,750	0,392
R_o	0,050	0,039
H_o	0,950	0,922
$L_{шт}$	1,000	1,000
L_n	0,250	0,020
$R_{шт}$	0,040	0,020
$L_{шт}$	1,400	1,098
$L_{доп}$	0,150	0,020

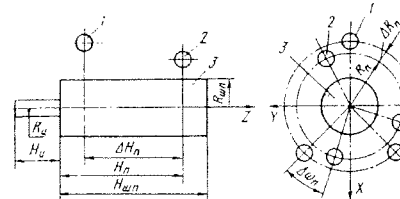
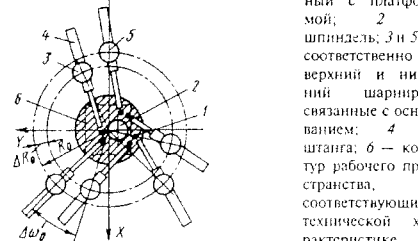
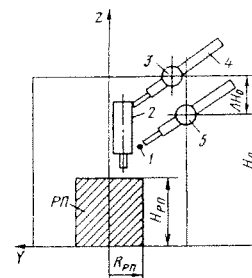


Рис.4. Конструктивные параметры платформы

Конструктивными параметрами основания (рис.5) являются: радиус R_o окружности центров нижних шарниров 5; разница ΔR_o радиусов окружности центров верхних и нижних шарниров, связанных с основанием; 4 — штанга; 6 — контур рабочего пространства, соответствующий технической характеристике



Сложная форма рабочего пространства гексаподов (см. рис. 1) затрудняет оптимизацию их конструктивных параметров. Размеры и форма поверхности, ограничивающей рабочее пространство, зависят от максимального и минимального вылета штанг, от максимального угла наклона шарниров и от коллизии конструктивных элементов. Под коллизией понимается, например такое явление, когда при значительном угле наклона платформы возможно столкновение шпинделя со штангой или одной штанги с другой, что ограничивает перемещение шпинделя, несущего инструмент. Форма рабочего пространства зависит от

конструкции элементов гексапода и от углового положения платформы в пространстве. Для упрощения расчетов и уменьшения числа комбинаций положения элементов при оптимизации конструктивных параметров не будем учитывать зависимость границы рабочего пространства от конструктивных параметров и угла наклона шарниров.

Для наглядности графического изображения формы рабочего пространства рассмотрим его сечение плоскостью, параллельной плоскости XY (рис.6). На плоскости сечения покажем два вида границ рабочего пространства: заданную в виде окружности радиуса $R_{\text{РП}}$, определяющей условный цилиндр $P\P$ радиусом $R_{\text{РП}}$ и высотой $H_{\text{РП}}$, и реальную границу перемещения платформы, представляющую собой фигуру сложной формы. Изменяя положение платформы по оси Z , форми-

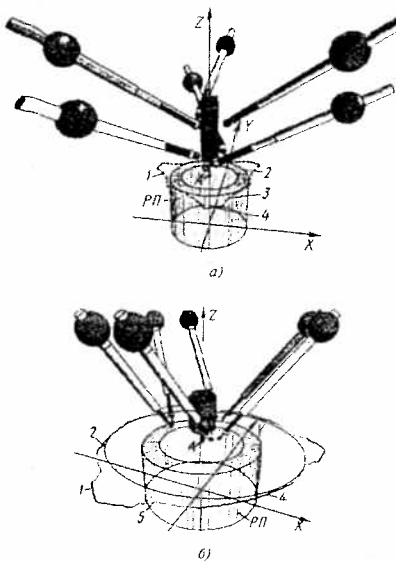


Рис. 6. Графическое изображение границы перемещения платформы на плоскости для гексапод моделей Mikromat 6Х (а) и TM 500 (б): 1 — реальная граница перемещения; 2 — окружность, вписанная в контур границы; 3 — кривая, определяемая минимальным вылетом штанги; 4 — то же максимальным; 5 — кривая, определяемая коллизией элементов; РП — цилиндр рабочего пространства

руем реальное рабочее пространство. Для оптимизации конструктивных параметров вводим критерий не по границе перемещения платформы, а по окружности 2 (радиусом R), вписанной в контур границы и имеющей центр в точке A , представляющей собой проекцию начала координат на плоскость сечения, параллельную плоскости XY (на рис. 6, а показано сечение при $z = 630$ мм, на рис. 6, б — при $z = 445$ мм).

При сопоставимых значениях относительной высоты $H_{\text{РП}}$ рабочего пространства его относительный радиус $R_{\text{РП}}$ у гексапода мод. TM 500 больше, чем у мод. Mikromat 6Х, хотя у последнего больше габаритные размеры, определяемые в основном размерами R_0 и H_0 . Это связано с различным соотношением конструктивных параметров R_0 , H_0 , R_n , H_n , $L_{\text{шт}}$.

Как видно из рис. 6, площадь, ограниченная контуром 2, значительно меньше, чем площадь, ограниченная контуром 1. Отсюда следует, что на металлообрабатывающих станках-гексаподах заготовку целесообразно устанавливать не в геометрическом центре стола, а с учетом фактического расположения рабочего пространства, определяемого путем предварительного расчета на компьютере.

Объем рабочего пространства зависит также от угла β ориентации шпинделя (см. рис.2), т.е. от наклона платформы. Для исследования этой зависимости используем два подхода: изменение конструктивных параметров оборудования и изменение угла γ (см. рис.2), что позволяет заметно снизить влияние коллизии, вследствие которой значительно уменьшается область перемещения платформы.

Была исследована зависимость радиуса R окружности 2 (см. рис. 6) от конструктивных параметров R_0 , H_0 , R_n , H_n и $L_{\text{шт}}$ для гексапода мод. TM 500 при изменении угла β . Установлено, что для уменьшения влияния коллизии целесообразно уменьшить размер H_t или увеличить R_0 ; в то же время, поскольку при уменьшении размера H_t происходит смещение рабочего пространства, следует уменьшить размер H_0 . Результаты оптимизации представлены ниже (в числителе — исходные значения, в знаменателе — оптимизированные).

R_0	0,980/0,706	R_n	0,314/0,392
H_0	1,745/1,451	H_n	0,939/0,039
$R_{\text{РП}}$	0,608/0,608	H_t	9,22/0,588
$H_{\text{РП}}$	0,637/0,637		

Как видно, в результате оптимизации размеры R_0 и H_0 сократились; при этом размеры реального рабочего пространства не претерпели существенных изменений.

Аналогичные исследования для гексапода мод. Mikromat 6Х показали, что для увеличения объема рабочего пространства рекомендуется увеличить радиус R_n или уменьшить радиус R_0 . Но коллизия элементов значительно ограничивает объем рабочего пространства. Поэтому на основе трехмерной компьютерной визуализации было принято решение об изменении конструктивных параметров ΔR_0 и ΔR_n . Результаты оптимизации представлены ниже (в числителе — исходные значения, в знаменателе — оптимизированные).

R_0	1,340/1,063	ΔR_n	0,000/0,100
ΔR_0	0,000/0,100	H_n	0,450/0,450
H_0	2,010/1,763	ΔH_n	0,400/0,400
ΔH_0	0,500/0,350	H_t	0,950/0,700
R_n	0,200/0,300	$L_{\text{шт}}$	1,400/1,400

Здесь также достигнуто уменьшение размеров R_0 и H_0 при некотором увеличении размеров рабочего пространства.

Установлено также, что при увеличении угла β наклона платформы от 0° до 40° размеры рабочего пространства уменьшаются (рис.7) и оно меняет свое положение относительно центра стола. Это

обстоятельство следует учитывать при планировании траектории перемещения платформы и определении места установки заготовки.

Варьируя угол γ (см. рис.2), можно уменьшить влияние коллизии элементов на размеры рабочего пространства. Компьютерные исследования позволяли определить оптимальные значения γ , которые составляют -10° для мод. Mikromat 6Х и 15° для мод. TM 500.

Отметим еще одну характерную особенность оборудования параллельной структуры. Внутри рабочего пространства могут возникать зоны потери жесткости, что приводит к резкому ухудшению работоспособности оборудования. Например, плоский механизм (рис.8) может находиться в двух положениях. В обычном положении (см. рис. 8, а) кинематическая структура имеет две степени подвижности при изменении вылета

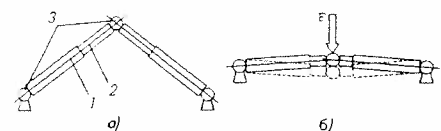


Рис.8. Схема потери жесткости плоским механизмом: (а) — штанга; 2 — шток; 3 — шарниры

штанги. В особом положении (см. рис. 8, б) плоская кинематическая структура превращается в линейную, когда при действии на шарнир силы F происходит скачкообразный переход из одного положения в другое. Вследствие этого перемещение рабочего органа внутри рабочего пространства ограничивается. Расчет зон потери жесткости основан на анализе матрицы Якоби [2] при равенстве нулю ее определителя.

Выходы

1. Проектирование станков-гексапод должно осуществляться при широком использовании компьютера. Только в этом случае можно определить фактический объем рабочего пространства, избежать коллизий, связанных со столкновением элементов, и выбрать оптимальные геометрические параметры станков.

2. Для проектирования станков-гексаподов необходимо разработать критерии оптимизации, учитывающие как геометрические, так и иные параметры (жесткость, точность и т.д.).

3. Поиск оптимизированных параметров должен быть основан не только на хороших знаниях и интуиции проектировщика, но и на использовании современных программных продуктов, позволяющих осуществлять трехмерную графическую визуализацию.

4. Объем рабочего пространства гексаподов имеет сложную пространственную форму. Его границы зависят от максимального и минимального вылета штанг, от коллизии элементов и от

конструкции шарниров (в данной статье не рассмотрено), а форма рабочего пространства определяется конструктивными параметрами гексапода и положением платформы в пространстве.

5. Расположение заготовки на столе гексапода следует определять с учетом изменения положения рабочего пространства, для чего необходимо производить предварительный расчет на компьютере.

Список литературы

1. Бушуев В.В., Хольцев И.Г. Механизмы параллельной структуры в машиностроении // СТИН. — 2001. — №1. — С. 3—8.

2. Справочник по промышленной робототехнике. — В 2 т. / Под ред. Ш. Нофа. — М.: Машиностроение, 1998. — Т. I. — 479 с.

Учет трения в задаче о движении манипулятора с «развязкой движений» и силовым натяжением передач

А.Г. Овакимов

Решение задачи дано на примере модуля (рис.1) манипулятора мод. РМП-25 [1 и 2] с тремя степенями подвижности, представляющего собой сложную систему дифференциальных передач с натяжным устройством для устранения зазоров в передачах. В работе [3] приведено решение задачи о движении той же системы в отсутствие трения. В данной статье для расчета сил трения и последующего их учета в уравнениях движения система

исследуются силовые потоки, обусловленные воздействием натяжного устройства, внешней нагрузки, а также сил инерции.

1. Выделим в рассматриваемом модуле три части. Первая — манипулятор, состоящий из корпуса θ , трех подвижных звеньев I , II , III и трех вращательных кинематических пар P_k (P_1 , P_2 , P_3). Углы φ_{k-1} (φ_{10} , φ_{21} , φ_{32}) относительного поворота звеньев манипулятора (здесь индексы 0 и 1—3 соответствуют корпусу и звеньям I — III) приняты за обобщенные координаты q_k (q_1 , q_2 , q_3) системы. Они отрабатываются с помощью передач, образующих три канала: два из них идут от конического колеса на звене III до выходных валов 2 и 3; третий представляет собой выходной вал 1 , которым является само звено I . Единичные векторы $e_{1,2,3}$ осей пар $P_{1,2,3}$ определяют положительное направление измерения соответствующих углов, угловых скоростей, ускорений и моментов пар сил.

Вторая часть модуля — дифференциальный привод, состоя-

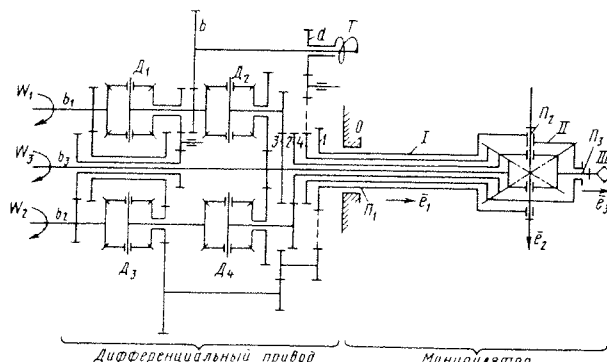


Рис. 1. Схема модуля с «развязкой движений» и натяжным устройством

шим из дифференциалов D_1 — D_4 и обеспечивающим «развязку движений» [4—6], т.е. независимую отработку относительных поворотов звеньев манипулятора каждым из приводных двигателей через входные валы b_k (b_1 , b_2 , b_3).

Третья часть модуля — натяжное устройство [6], выполненное в виде торсиона T с двумя кинематическими ветвями. Первая ветвь соединяет торец d торсиона с звеном II манипулятора через выходной вал 4 ; вторая соединяет торец b торсиона с валом водила дифференциала D_1 .

Принятая схема дифференциального привода обеспечивает постоянные по величине передаточные отношения $\lambda_k = \Delta q_k / \Delta \beta_k$ между угловыми перемещениями Δq_k в парах P_k и соответствующими перемещениями $\Delta \beta_k$ валов b_k , а именно: $\lambda_1 = -1/8$; $\lambda_2 = 1/12$; $\lambda_3 = -7/44$.

2. Уравнения движения модуля при учете сил трения имеют следующий вид:

$$a_{k1}\ddot{q}_1 + a_{k2}\ddot{q}_2 + a_{k3}\ddot{q}_3 + f_k(q, \dot{q}) = Q_k + Q_k^{\text{тр}}, \quad (1)$$

где Q_k — обобщенные силы (без учета сил трения), отражающие влияние внешних сил — весов звеньев и приводных моментов W_k (W_1 , W_2 , W_3) на валах b_k ; $Q_k^{\text{тр}}$ — обобщенные силы трения; a_{ks} — инерционные коэффициенты ($s = 1, 2, 3$), являющиеся функциями положения звеньев манипулятора, т.е. вектора $q = (q_1, q_2, q_3)$; $f_k(q, \dot{q})$ — функция, учитывающая не только положение звеньев, но и скорости в системе (вектор \dot{q}).

Расчет 3×3 -матрицы коэффициентов a_{ks} , функций f_k , а также обобщенных сил Q_k приведен в работе [3].

Определение ускорений \ddot{q}_k осложнено тем, что силы трения и соответственно величины $Q_k^{\text{тр}}$ сами в свою очередь зависят от этих ускорений. Действительно, при силовом расчете модуля, необходимом для определения сил трения, следует установить результат совокупного воздействия на элементы модуля не только внешней нагрузки и силового натяжения передач, но и сил инерции системы.

После формирования алгоритма расчета сил $Q_k^{\text{тр}}$ искомые ускорения \ddot{q}_k могут быть определены методом последовательных приближений [7]. При этом сначала по ранее найденным значениям q_k , \dot{q}_k и \ddot{q}_k для предшествующего момента времени t_{k-1} рассчитаем скорости и положение (коор-

динаты) системы в рассматриваемый момент времени $t_k = t_{k-1} + \Delta t$ по формулам

$$\dot{q}_k = \dot{q}_{k-1} + \ddot{q}_k \Delta t; q_k = q_{k-1} + 0.5(\dot{q}_{k-1} + \dot{q}_k) \Delta t$$

(здесь индекс k опущен для простоты записи).

Для момента времени t_k в качестве начального приближения примем значения ускорений, определенные из системы уравнений (1) при условии, что при расчете сил инерции (необходимом для нахождения начальных значений обобщенных сил трения) было принято $\ddot{q}_k = 0$. Полученные таким образом ускорения используем для расчета новых, более точных значений обобщенных сил трения, а затем и соответствующих ускорений. Итерационный процесс повторяется до тех пор, пока абсолютные значения разностей ускорений в двух смежных циклах расчета не станут достаточно малы.

Момент L_ξ , воспринимаемый любым элементом ξ модуля, будем рассматривать как сумму трех алгебраических величин: $L_\xi = M_\xi^{\text{н}} + P_\xi + S_\xi$, где $M_\xi^{\text{н}}$ — момент, обусловленный воздействием натяжного устройства; P_ξ — момент, связанный с весами звеньев и приводными моментами W_k ; S_ξ — инерционная нагрузка.

В элементе ξ трение может существовать одновременно и во вращательной паре и в зубчатом зацеплении. Примем, что силы трения пропорциональны моменту L_ξ и будем определять их с помощью одного коэффициента K_{12} (он учитывает диаметры колеса, вала и коэффициент трения), в записи которого индексы 1 и 2 соответствуют звеньям вращательной пары. Передаваемый на элемент ξ момент трения

$$M_\xi^{\text{тр}} = \text{sgn}(\omega_2 - \omega_1) |L_\xi| K_{12} \quad (2)$$

(где ω_2 и ω_1 — угловые скорости звеньев вращательной пары) противоположен направлению относительной угловой скорости $\omega_{12} = \omega_1 - \omega_2$.

Знак момента L_ξ можно более точно учесть силы трения; здесь же ограничимся принципиальным решением задачи.

Для расчета обобщенных сил трения

$$Q_k^{\text{тр}} = \sum_{\xi} M_\xi^{\text{н}} \frac{\partial \psi_{12}}{\partial q_k} \quad (3)$$

(где ψ_{12} — относительный угол поворота) нужно создать массивы из частных передаточных отношений $\frac{\partial \psi_{12}}{\partial q_k}$, которые потребуются также для